

زمین‌شیمی و سن‌سنجه‌های گابرو‌های افیولیتی سهول آوا-شمال غرب ایران

بهمن رحیمزاده*

دانشگاه شهید بهشتی، دانشکده علوم زمین، گروه زمین‌شناسی

جمشید حسن‌زاده؛ پاسادنا، انسیتو تکنولوژی کالیفرنیا، بخش زمین‌شناسی و نجوم
فریبرز مسعودی؛ دانشگاه شهید بهشتی، دانشکده علوم زمین، گروه زمین‌شناسی

چکیده

در اطراف شهر سهول آوا در استان کردستان، توده‌ها و دایک‌های با ترکیب گابرویی افیولیتی به همراهی بازالت‌ها و پریدوتیت‌های افیولیتی رخنمون دارند. افیولیت سهول آوا با خشی از افیولیت‌های کردستان است که در زون برشی بین زاگرس مرتفع و سندج-سیرجان شمالی واقع شده است. در این تحقیق ژئوشیمی و سن گابرو‌ها بررسی شده است. بافت غالب گابرو‌ها دانه‌ای و پگماتوبیدی است که بخش‌های مجاور گسل اصلی و جوان زاگرس میلوبیدی شده‌اند. دامنه تغییرات SiO_4 گابرو‌ها بین $47/84$ تا $51/65$ درصد وزنی و سرشت ماقمای آن‌ها بیشتر توله‌ایتی است. کانی‌های اصلی گابرو‌ها، پلازیوکلاز با ترکیب لابرادور و کلینوپپروکسن از دو نوع دیوپسید و اوژیت با عدد منیزیم ($\text{Mg}\#$) $83/90$ تا $88/90$ است. ویژگی‌های این گابرو‌ها در نمودارهای مختلف ژئوشیمیایی و ژئوتکتونیکی گویای منشأ گوشه‌های اندکی تهی شده است که در محیطی سوپراساباکشن^۱ جلوی قوس تشکیل شده است. این گابرو‌ها به روش U-Pb بر روی دانه‌های زیرکن سن میانگین $38/3 \pm 1/3$ میلیون سال را نشان می‌دهند. سن اؤسن پایانی گابرو‌های سهول آوا و چندین توده گابروی مشابه در امتداد زمین درز زاگرس در منطقه کردستان گویای این است که نئوتیس در این منطقه بعد از اؤسن بسته شده باشد.

مقدمه

گسل زاگرس محل بسته شدن یکی از شاخه‌های نئوتیس بهشمار می‌رود که از جنوب ترکیه و شمال‌غرب ایران گذشته و تا دریای عمان ادامه داشته است. زاگرس یکی از شاخه‌های نئوتیس است که در پرمین شروع به باز شدن کرده و در تریاس به بیشترین وسعت خود رسیده است [۱]، [۲]. فرورانش پوسته اقیانوسی نئوتیس به زیر خرده قاره ایران مرکزی، در نتیجه حرکت رو به شمال شرق قاره آفریقا، از تریاس پایانی-ژوراسیک زیرین یعنی از زمان برخورد ایران مرکزی با بلوك توران آغاز شده و در کرتاسه بالایی [۳] یا اؤسن میانی [۴] و یا میوسن [۱۶] پایان یافته است. افیولیت‌های کرمانشاه [۵]، [۶]، نیریز [۷] و کردستان [۸] مهم‌ترین بخش‌های افیولیت‌های باقی‌مانده از نئوتیس هستند. کمان ماقمایی ارومیه دختر نیز حاصل ماقماییسم فرورانش نئوتیس به زیر صفحه ایران است [۱]، [۹]، [۱۰].

واژه‌های کلیدی: گابرو، افیولیت‌های سهول آوا، روش U-Pb، سوپراساباکشن زون، زاگرس.

دریافت ۹۲/۲/۲۲ پذیرش ۹۲/۱۱/۱۴

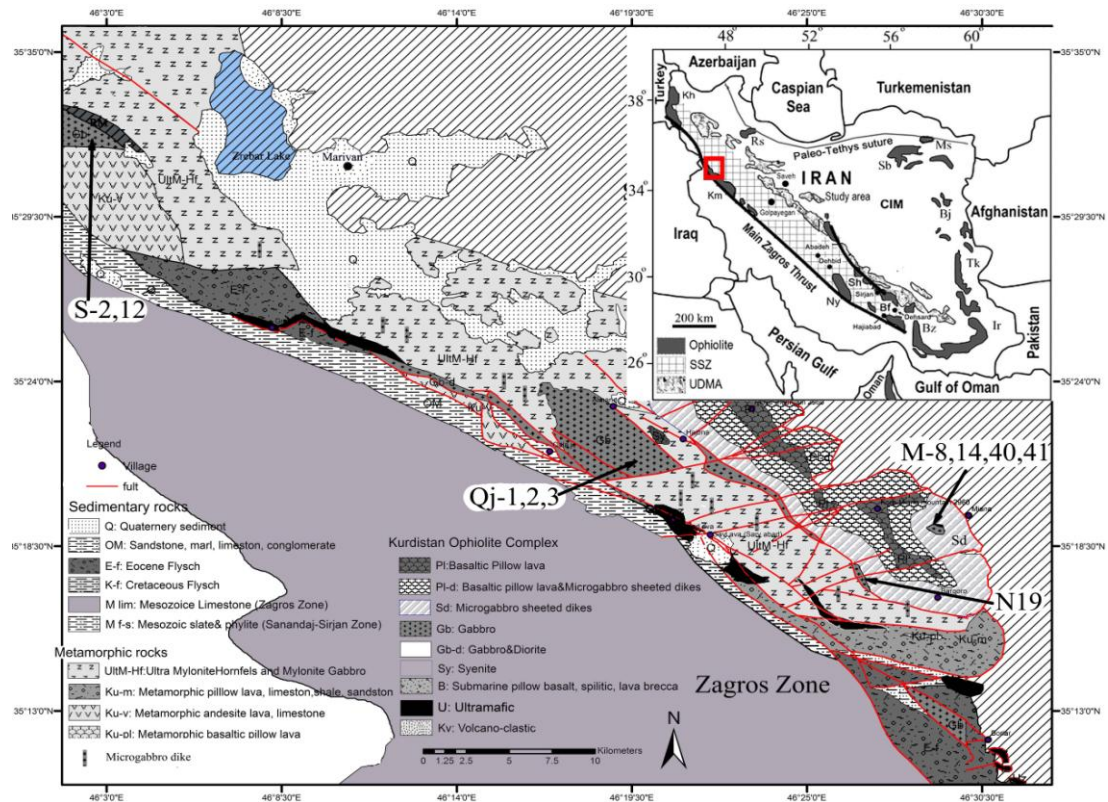
کمان ماقمایی ارومیه دختر در بخش شمالی مقاومت از بخش جنوبی است بهطوری‌که در پژوهش‌های اخیر چند کمان ماقمایی جدا از هم در مناطق کرانشاه‌کردستان معرفی شده‌اند [۱۰، ۱۱، ۱۲]. عزیزی و معین‌وزیری با ارائه مدلی منطقه شمال غرب ایران را به سه محور ماقمایی تقسیم‌بندی کردند که گابروهای منطقه سهول آوا را در محور ماقمایی صحنه‌بانه قرار داده‌اند و ماقمایتیسم این محور را مربوط به قوس ماقمایی نتیجه فرورانش دانسته‌اند [۱۰].

افیولیت‌های سهول آوا بخشی از افیولیت‌های کردستان است. گابروهای دانه‌ای-پگماتوییدی همراه این مجموعه افیولیتی هستند. در قاعده واحد میکروگابرویی با رابطه گسلی روی پریدوتیت‌ها و اسلیت-فیلیت‌های سنندج-سیرجان قرار گرفته‌اند. در ادامه حرکت صفحه عربی به سمت ایران و ادامه روراندگی، زون خردشده مشخصی تشکیل و افیولیت‌ها به سمت زون سنندج سیرجان حرکت کرده‌اند. واحدهای افیولیتی در منطقه کردستان نیز با کمان ماقمایی اولیگومیوسن صحنه‌بانه [۱۰] هم‌جوار شده‌اند. بررسی گابروهای سهول آوا ضمن مشخص کردن ارتباط این گابروها با افیولیت‌ها یا کمان ماقمایی، می‌تواند شناخت بهتری در شکل‌گیری کوه‌زایی زاگرس و زمان بسته شدن نئوتیس را در پی داشته باشد. در این تحقیق، روابط صحرایی و سنگ‌شناسی گابروهای سهول آوا معرفی و ژئوشیمی و سن ایزوتوبی آن‌ها بررسی شده است.

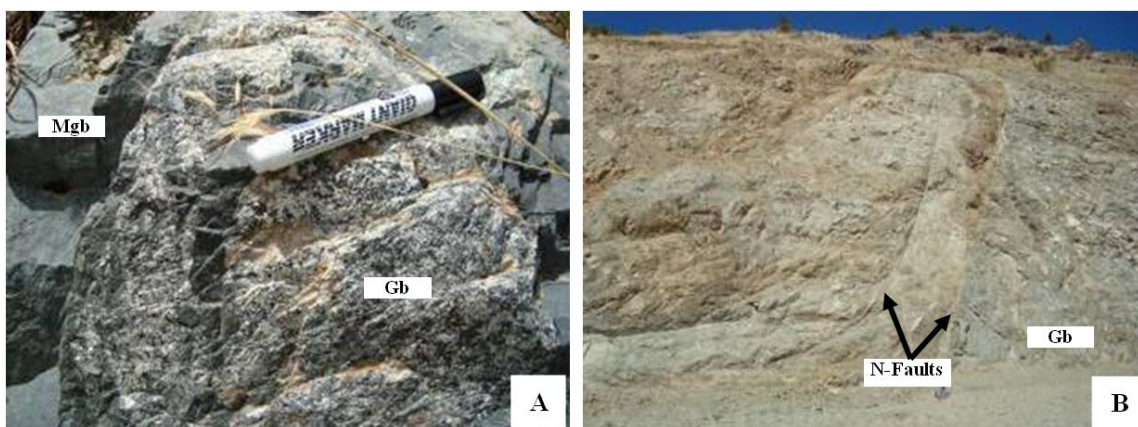
جایگاه زمین‌شناسی

افیولیت‌های کردستان در بین راندگی زاگرس و پهنه سنندج-سیرجان قرار گرفته‌اند. مجموعه افیولیتی سهول آوا بخشی از افیولیت‌های کردستان است که مابین سنندج و مریوان قرار گرفته است (شکل ۱). در جنوب‌غرب و غرب سهول آوا، آهک‌های زاگرس (مجموعه بیستون) و در شمال و شمال‌شرق، اسلیت و فیلیت‌های سنندج سنگ‌های همبر افیولیت‌ها را می‌سازند. در منطقه سهول آوا مجموعه افیولیتی بهترتب از بالا به پایین شامل توده‌های عظیم و مرتفع بازالت-میکروگابرو، گابروهای دانه‌ای-پگماتوییدی (شکل ۲-A) و در قاعده توالی واحدهای پریدوتیت است. گابروهای با بافت دانه‌ای و پگماتوییدی در زیر میکروگابروها قرار گرفته و در آن‌ها نفوذ کرده‌اند. بهجز توده گابروی قهلاجی که نسبتاً بزرگ است، بیشتر رخنمونهای گابروی در حد استوک و دایک هستند (شکل ۲-B). بهدلیل حضور توأم گسل اصلی زاگرس (MZF) و گسل جوان زاگرس (MZRF) در منطقه سهول آوا، گابروهای نزدیک این گسل‌ها بهشت میلیونی و حتی الترامیلونیتی شده‌اند. در محدوده بین گابروهای درشت بلور و میکروگابروها، دایک‌های فلزیک با ترکیب پلازیوگرانیتی نفوذ کرده‌اند (شکل ۲-C). مجموعه‌ای از رسوبات آهکی-تبخیری معادل سازند قم روی آهک‌های کرتاسه زاگرس (زون بیستون-اورامان) بهصورت دگرشیب قرار گرفته است و مجموعه افیولیتی سهول آوا روی این مجموعه رسوبی رانده شده است (شکل ۲-D).

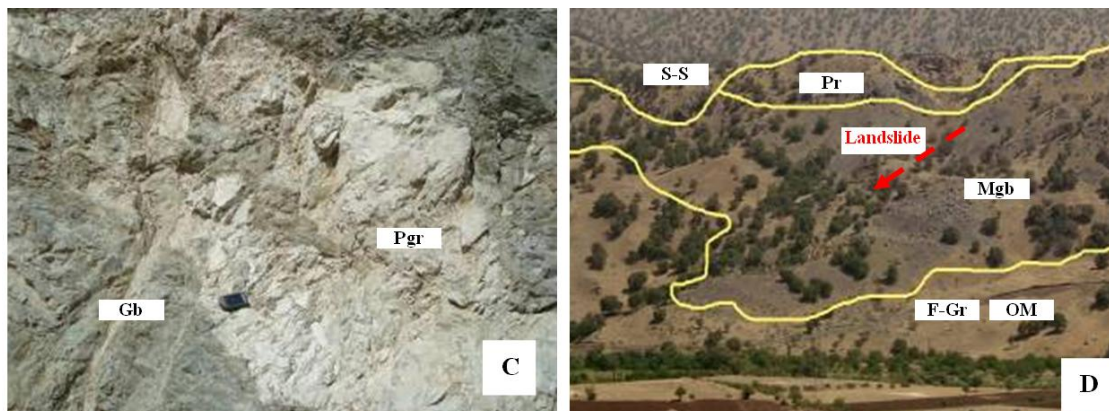
سیل، دایک و استوک‌های کوچک گابرویی در منطقه با روندی همسو با گسل اصلی زاگرس دیده می‌شوند (شکل‌های ۱ و ۳). توده نسبتاً بزرگ منطقه در اطراف روستای قهلاجی رخ نمون دارد. توده‌های نفوذی در مرز ایران و عراق (پینجوین) [۱۳]، [۱۴] در شمال غرب منطقه، و توده‌های گابرویی طابی‌سازان [۱۵]، گابروی مروارید [۱۱]، گابروهای شمال غرب کامیاران و مجموعه گابروی شرق کامیاران [۱۶]، مشابه با گابروهای سهول آوا در یک محور قرار می‌گیرند.



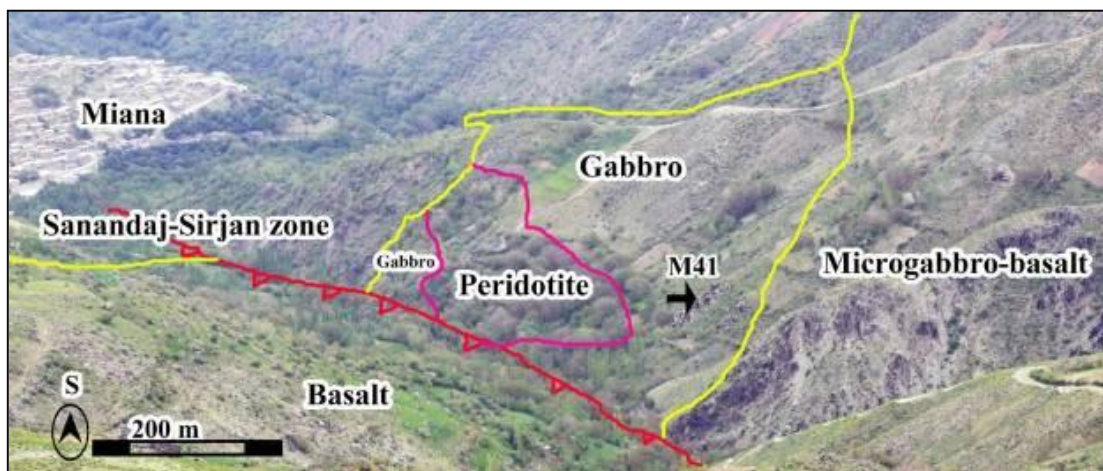
شکل ۱. موقعیت زمین‌شناسی منطقه در ایران و نقشه زمین‌شناسی منطقه بررسی شده (با تغییرات از [۱۷]). نمونه‌های برداشت شده از مناطق مختلف با علامت اختصاری مشخص شده‌اند، M =میانه، Qj =قه لاجی، S =سردوش و N =نسل)



شکل ۲. رخ نمون گابروهای (Gb) منطقه و ارتباط آن‌ها با واحدهای بالا و پایین در روستای نسل. (A) نفوذ گابروی گرانولار (G-Gb) در میکروگابرو (Mgb)، (B) گسل‌های نرمال (N-Faults) در ارتباط با گسل جوان زاگرس و تأثیر آن بر گابروها



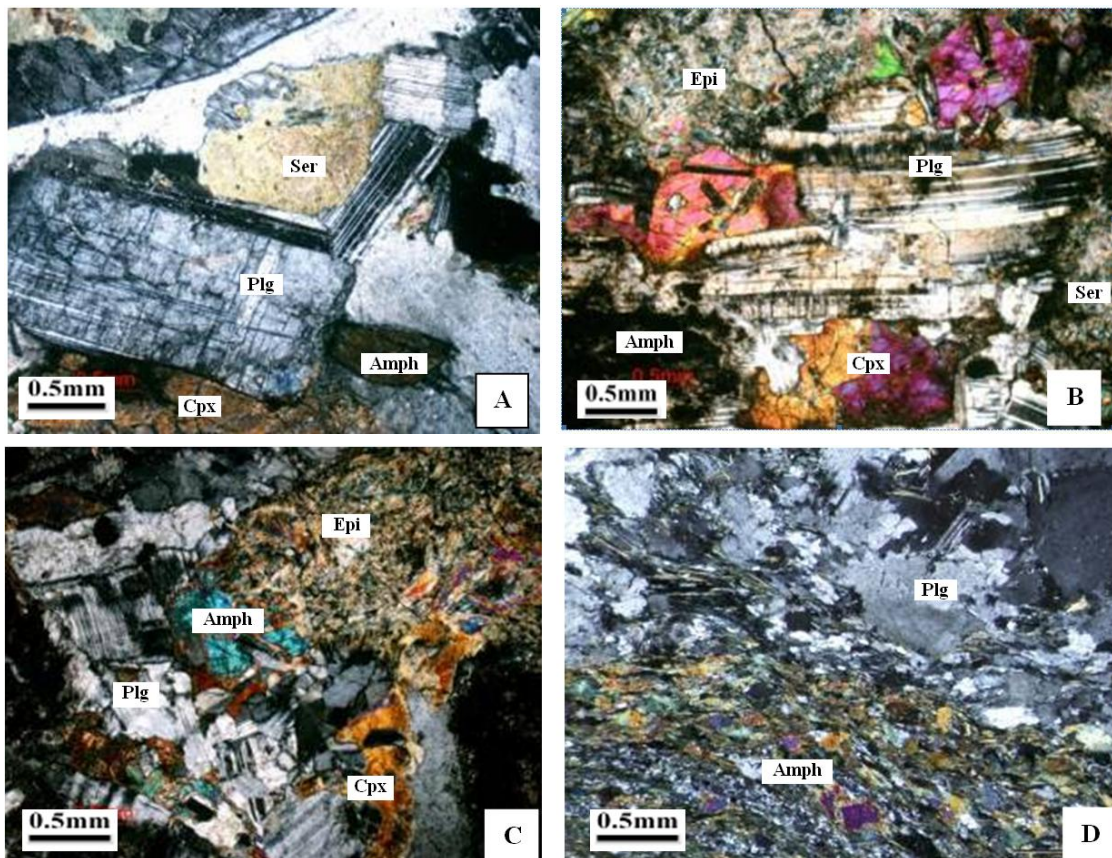
شکل ۲. (C) نفوذ دایک‌های فلزیک پلاژیوگرانیتی (Pgr) در گابروها و میکروگابروها (F-Gr) در گابروها، (D) راندگی اسلیت‌های سنتدج سیرجان (S-S) روی پریدوتیت (Pr) و میکروگابرو (مجموعه افیولیتی) و کل مجموعه روی واحد اولیگومیوسن (OM)



شکل ۳. ارتباط صحرایی واحد گابرویی میانه با سنگ‌های هم‌جوار در شرق محدوده بررسی شده

پتروگرافی

گابرو‌ها بافت‌های اولیه دانه‌ای و پگماتیتی دارند. پلاژیوکلاز لابرادریتی-آندرینی و کلینوپیروکسن از نوع اوژیت و دیوپسید درشت بلور‌های گابرو‌ها را می‌سازند (شکل ۴- A و B). کانی‌های فرعی را آپاتیت و مگنتیت و بمندرت الیون تشکیل می‌دهند. در غالب گابرو‌ها ابتدا کانی پلاژیوکلاز متبلور شده و کانی پیروکسن فضای خالی را پر می‌کند. در مواردی کانی پلاژیوکلاز به صورت بافت فرعی پویی‌کیلیتیک در داخل پیروکسن‌ها دیده می‌شود. در بیشتر توده‌های گابرویی نسبت کانی پلاژیوکلاز به پیروکسن تقریباً یک به یک است. با وجود این، در مواردی از کانی‌های پگماتیتی، درصد کانی پلاژیوکلاز بیشتر از پیروکسن است و در برخی دایک‌های گابرو‌های گرانولار درصد پیروکسن بیشتر از پلاژیوکلاز است. در بخش‌های نزدیک به گسل زاگرس گابرو‌های پگماتیتی بشدت خرد شده و سنگ بافت‌های میلونیتی و اولترامیلونیتی پیدا کرده است (شکل ۴-D). تبدیل کلینوپیروکسن به آمفیبول در گابرو‌های منطقه شایع است (شکل ۴-C و D). از دگرسانی آمفیبول کانی‌های اپیدوت و کلریت به وجود آمده است. کانی‌های کلسیت، سریسیت و کوارتز ریز دانه نیز حاصل دگرسانی هستند.



شکل ۴. تصاویر میکروسکوپی گابرو‌های سهول آوا، (A) پگماتویید گابرو با درشت بلورهای خودشکل پلازیوکلاز تا ۵ سانتی‌متر و کلینوپیروکسن غالباً اورالیتی که بیشتر اوقات به صورت بی‌شکل بین بلورهای پلازیوکلاز را پرکرده است، (B) گابروی گرانولار با پلازیوکلازهای هوازده شده و بافت فرعی پویی‌کیلیتیک، (C) اورالیتی شدن کانی کلینوپیروکسن به آمفیبیول در گابروی گرانولار، تجزیه‌شدگی پیروکسن به کانی‌های اپیدوت و کلریت دیده می‌شود، (D) متاگابرو با دگرگونی در حد شیست سیز، کشیدگی و جهت یافته‌گی کانی‌ها به خصوص آمفیبیول مشهود است. (کلینوپیروکسن=Cpx، پلازیوکلاز=Plg، سرسیت=Ser، آمفیبیول=Amph، اپیدوت=Epi)

روش‌های آزمایشگاهی

در طی برداشت‌های صحرایی، تعداد ۳۰ نمونه از گابرو‌های گرانولار-پگماتیتی در ۴ رخنمون اصلی اشاره شده در شکل ۱ برداشت و از آن‌ها مقطع نازک تهیه شد. پس از بررسی‌های سنگشناسی و پتروگرافی، اکسیدهای عناصر اصلی ۱۰ نمونه به‌روش XRF و عناصر کمیاب ۵ نمونه به‌روش ICP در آزمایشگاه دانشکده علوم زمین دانشگاه فرارای ایتالیا تجزیه شد (جدول ۱). آنالیز کانی‌های پیروکسن (جدول ۲) و پلازیوکلاز (جدول ۳) از گابروی میانه انتخاب شده و با روش آنالیز نقطه‌ای با دستگاه کامکامباکس^۱ با ولتاژ ۱۵ کیلو ولت، جریان ۱۵ نانو آمپر و استفاده از سیلیکات‌ها و اکسیدهای طبیعی به عنوان استاندارد، در دانشگاه علوم زمین شهر پادوای ایتالیا انجام شد.

¹. Cameca-Camebax

نمونه M۴۱ از استوک میانه برای تشخیص سن گابرو‌ها انتخاب شد (شکل ۱). آمده‌سازی و جدایش کانی زیرکن در آزمایشگاه‌های سازمان زمین‌شناسی و اکتشافات معدنی صورت گرفت. پس از خردایش مقدار ۴ کیلوگرم از سنگ گابرو، جدایش دانه‌های زیرکن انجام شد. محاسبه سن تبلور کانی زیرکن بر اساس اندازه‌گیری ایزوتوپی اورانیم، سرب و توریم با استفاده از دستگاه مایکروپریوب یونی^۱ در دانشگاه کالیفرنیا در لس آنجلس (UCLA) اندازه‌گیری شد. برای اندازه‌گیری از روش کویدلور^۲ و همکاران [۱۸] و اسمیت^۳ و همکاران [۱۹] استفاده شد. میزان اطمینان از داده‌های ایزوتوپی ۹۵ درصد است (برای توضیحات بیشتر مراجعه شود به [۲۰]). خلاصه آنالیز‌های ایزوتوپی یونی مایکروپریوب اورانیم-سرب در جدول ۴ آورده شده است.

جدول ۱. نتایج آنالیز شیمیایی عناصر اصلی بهروش XRF و عناصر فرعی به روشن ICP. اکسیدهای اصلی بر اساس

درصد وزنی (wt.%) و عناصر فرعی و جزئی بر حسب PPM محاسبه شده است.

Sample Locality	XRF&ICP								XRF		
	M-۸ Miana	M-۱۴ Miana	N-۱۹ Nsel	M-۴۰ Miana	M-۴۱ Miana	S۲ Sardosh	S۱۲ Sardosh	Qj ۱ Qalaje	Qj ۲ Qalaje	Qj ۳ Qalaje	
SiO _۴	۵۱/۶۵	۵۰/۶۰	۵۱/۳۹	۴۸/۴۶	۵۱/۶۸	۴۷/۸۴	۴۹/۷۲	۴۸/۹۸	۵۱/۲۹	۵۰/۹۳	
TiO _۴	۰/۱۹	۰/۳۰	۰/۳۴	۰/۴۶	۰/۸۶	۰/۱۹	۰/۱۷	۰/۱۶	۰/۶۴	۰/۴۴	
Al _۲ O _۳	۱۹/۴۳	۱۷/۵۹	۱۹/۰۸	۱۸/۴۶	۱۴/۹۶	۱۸/۹۲	۱۹/۰۱	۱۷/۳	۱۲/۸۴	۱۲/۹۲	
Fe _۲ O _۳	۰/۸۷	۰/۵۸	۰/۵۷	۰/۸۰	۰/۸۸	۱/۱۳	۱/۰۰	۰/۸۵	۰/۹۰	۰/۵۸	
FeO	۰/۷۸	۳/۸۴	۳/۷۷	۰/۳۴	۰/۸۰	۷/۵۴	۶/۷۰	۳/۸	۴/۷	۰/۶	
MnO	۰/۱۲	۰/۰۸	۰/۰۹	۰/۱۱	۰/۰۲	۰/۱۶	۰/۱۵	۰/۰۶۲	۰/۰۸۵	۰/۰۷۷	
MgO	۱۰/۴۵	۱۰/۴۷	۹/۵۲	۱۳/۲۸	۱۱/۱۵	۱۰/۱۰	۸/۷۶	۱۳/۶۸	۸/۶۷	۱۱/۳۹	
CaO	۱۲/۲۶	۱۳/۴۵	۱۱/۹۸	۱۰/۹۴	۱۱/۳۳	۱۳/۶۰	۱۳/۲۴	۸/۹۴	۱۱/۵۴	۱۱/۴۱	
Na _۲ O	۲/۰۸	۲/۴۳	۲/۹۶	۱/۸۱	۲/۹۲	۰/۴۷	۰/۶۶	۱/۰۲	۲/۷۱	۱/۷۷	
K _۲ O	۰/۰۷	۰/۴۸	۰/۱۶	۰/۷۷	۰/۱۴	۰/۰۳	۰/۰۵	۰/۳	۰/۴۴	۰/۰۹	
P _۲ O _۵	۰/۱۱	۰/۰۴	۰/۰۴	۰/۰۷	۰/۱۱	۰/۰۴	۰/۰۵	۰/۰۶	۰/۰۵	۰/۰۴	
LOI	۱/۸۸	۰/۷۶	۲/۷۰	۲/۸۰	۲/۱۳	۲/۲۳	۲/۱۸	۰/۲۱	۰/۳۰	۳/۷۲	
Total	۹۹/۶۰	۹۹/۹۰	۱۰۰/۰۱	۹۹/۹۴	۹۹/۹۷	۹۹/۸۷	۱۰۰/۰۱	۹۹/۸۶	۹۹/۹۰	۹۹/۱۶	
Cr	۱۷۵	۷۰۰	۲۰۱	۹۹	۲۱۶	۵۰۴	۲۹۵	۲۲۴	۵۹۷	۴۹۶	
Co	۲۴	۱۰	۴۲	۳۷	۳۶	۴۸	۴۰	۳۵	۲۱	۲۳	
Zn	۲۱	۸	۲۱	۱۰	۲۰	۳۶	۳۰	۳۸	۳۵	۴۲	
Cu	۱۱	۶	۸۴	۳۴	۳۸	۸۰	۷۲	۲۶	۳	۱۲	
Ga	۱۲	۱۰	۷	۹	۱۰	۱۰	۹				
Ta	۰/۸۹	۰/۱۹	۰/۱۶	۰/۱۶	۰/۲۲						
V	۱۷۹	۸۴	۸۴	۷۸	۲۰۰	۲۰۰	۱۴۷	۳۵	۱۱۶	۸۷	
Ni	۱۰/۱	۲۴۲	۸۳	۱۰۹	۹۱	۲۰۶	۱۱۷	۴۶۳	۱۹۲	۳۴۸	
Rb	۱/۴۵	۰/۹	۱۰/۱۷	۳/۹۱	۲۲/۷۹			۱۳	۲۰	۱۹	
Sr	۱۸۸	۲۳۷	۳۹۹	۲۳۲	۲۱۳	۶۷	۷۵	۴۱۳	۲۶۰	۱۴۴	
Y	۲	۵		۹	۲۴	۸	۱۱	۷	۱۶	۱۴	
Sc	۲۸	۱۷	۱۲	۷	۳۰	۴۳	۳۳				
Zr	۴۸	۲۸	۱۶	۳۹	۵۴		۵۶	۵۴	۸۱	۴۴	
Nb	۱۳/۸۶	۳/۲۷	۲/۶۹	۲/۰۹	۳/۲۶	۴/۲۱	۶/۳۱	۲۵	۱۴	۲	
Ba	۲۴	۸	۲۱	۲۰۱	۳۵	۱۲	۱۰	۱۸۰	۲۰۵	۱۷۹	
La	۷/۳۵	۳/۸	۲/۰۲	۲/۰۷	۳/۸	۱	.	۱	۱	۷	
Ce	۱۱	۶	۲۰	۱۶	۲۴	۴	۳	۲	۲	۱۴	
Pr	۲/۷۶	۱/۷۵	۰/۹	۱/۲۴	۱/۷۵						
Nd	۱۴/۲۱	۸/۹۴	۰/۰۴	۷/۱	۸/۹۴	۲	۱				
Sm	۴/۱۹	۲/۷۹	۱/۸۶	۲/۴۲	۴/۱۹						
Eu	۱/۴	۰/۹۳	۰/۷	۰/۸۶	۱/۴						
Gd	۴/۹۵	۳/۰۹	۲/۱۹	۲/۹۴	۴/۹۵						
Dy	۰/۳۷	۳/۶۵	۳	۳/۴۹	۵/۳۷						
Ho	۱/۱۱	۰/۷۵	۰/۶۲	۰/۷	۱/۰۱						
Er	۳/۱۶	۲/۱۳	۱/۸۲	۲/۰۶	۲/۹۳						
Yb	۳	۲/۰۷	۱/۱۶	۱/۹۴	۲/۸						
Lu	۰/۴۳	۰/۲۹	۰/۲۴	۰/۲۹	۰/۴						
Hf	۲/۲۳	۱/۸۲	۱/۲۲	۱/۶۴	۲/۲۶						
Ta	۰/۸۹	۰/۱۹	۰/۱۶	۰/۱۶	۰/۲۲						
Pb			۰/۷	۱	۱	۴	۴	۵	۶		
Th	۱	۱	۱	۱	۲	۱	۱				
U	۰/۱۶	۰/۰۹	۰/۰۶	۰/۰۵	۰/۱۱						

۱. Cameca IMS 1270

۲. Quidelleur

۳. Schmitt

جدول ۲. آنالیزهای نقطه‌ای کلینوپیروکسن در گابروهای میانه (محاسبات بر پایه شش اکسیژن)

CPX	Diopsite										Augite					
Min	4	5	6	7	8	9	10	11	12	13	14	15	16	17	18	19
SiO ₄	51/86	51/89	51/97	52/19	52/99	51/61	52/18	52/97	51/14	52/6	49/78	48/11				
TiO ₄	0/61	0/62	0/77	0/49	0/08	0/79	0/54	0/52	0/6	0/49	0/7	0/31				
Al ₂ O ₃	2/64	2/76	2/88	2/3	0/62	2/52	2/32	2/29	2/59	2/19	0/69	7/60				
Cr ₂ O ₃	0/74	0/23	0/74	0/16	0/02	0/12	0/7	0/23	0/22	0/21	0/3	0				
MnO	0/14	0/1	0/11	0/16	0/16	0/19	0/22	0/22	0/18	0/10	0/22	0/36				
MgO	17/05	17/12	17/13	16/43	16/10	16/44	17/23	16/31	16/51	17/65	15/08	13/96				
CaO	20/84	20/68	20/87	21/63	22/94	20/74	20/84	21/39	20/86	20/3	11/46	10/46				
Na ₂ O	0/79	0/29	0/34	0/3	0/11	0/11	0/33	0/29	0/33	0/35	1/13	1/44				
K ₂ O	0	0	0	0	0	0	0	0	0	0	0/6	0/4				
FeO	3/97	4/16	3/81	4/3	3/84	4/91	3/7	5/6	3/82	4/1	13/04	12/43				
Fe ₂ O ₃	1/78	1/67	1/99	1/00	1/08	1/06	2/03	0	1/90	1/44	0	3/01				
Total	99/42	99/01	99/11	99/05	98/98	99/2	99/09	99/79	98/23	99/47	97/2	97/77				
Wo	42/0	42/2	42/0	44/1	47/6	42/6	42/3	44	43/2	41/3	26/8	24/9				
En	48/4	48/6	48/5	46/6	44/7	47	48/6	46/7	47/5	49/9	49	46/3				
Fs	9/1	9/2	9/1	9/3	7/7	10/4	9/1	9/3	9/3	8/8	24/2	28/8				
N ^o	88/4	88	88/9	87/2	88/2	85/7	89/3	83/9	88/5	88/5	67/3	66/7				
Mg																

جدول ۳. آنالیزهای تک کانی پلازیوکلاز در گابروهای میانه (محاسبات بر پایه هشت اکسیژن)

Element	P1-1	P1-2	P1-3	P1-4	P1-5	P1-6	P1-7	P1-8	P1-9	P1-10	P1-11	P1-12	P1-13	P1-14	P1-15
SiO ₄	57/13	54/16	52/73	52/37	55/19	53/20	53/39	53/39	51/47	59/43	52/70	53/40	53/43	52/34	52/31
TiO ₄	0/13	0/11	0/6	0/4	0/12	0/6	0/8	0/5	0/6	0/10	0/1	0/1	0/1	0/10	0/10
Al ₂ O ₃	26/51	27/29	28/31	28/77	27/45	28/18	29/17	28/91	28/17	25/0	29/58	29/20	29/64	29/63	
Cr ₂ O ₃	0	0	0/1	0	0	0/4	0/04	0/01	0/04	0/01	0	0/02	0	0	0
FeO	0/76	0/28	0/40	0/59	0/50	0/5	0/43	0/56	0/37	0/37	0/57	0/48	0/45	0/47	
MnO	0/12	0/2	0/4	0/0	0/0	0/1	0/00	0/00	0/4	0/13	0/02	0/0	0/0	0/0	0/0
MgO	0/0	0/0	0/0	0/0	0/0	0/0	0/0	0/0	0/0	0/0	0/0	0/0	0/0	0/0	0/0
CaO	8/76	10/06	11/60	11/77	9/69	11/40	11/10	11/13	12/94	7/77	11/17	11/81	12/05	11/24	11/31
Na ₂ O	6/07	5/63	5/01	4/74	6/12	5/08	5/01	5/92	8/73	7/90	4/02	4/73	4/62	4/30	
K ₂ O	0/17	0/6	0/9	0/7	0/19	0/7	0/7	0/8	0/17	0/19	0/09	0/17	0/18	0/18	0/18
Total	99/62	97/76	98/37	98/61	99/10	99/10	99/93	99/99	98/11	99/13	93/67	99/63	100/16	99/77	99/10
Ab %	75/2	77/3	57/4	53/3	50/1	44/4	43/0	43/1	42/9	42/0	41/4	40/1	39/18	39/3	38/0
An %	23/8	31/6	42/2	45/7	49/0	50/3	56/1	56/6	57/6	58/3	58/9	59/7	60/2	61/0	
Or %	1/1	1/0	0/4	1/1	0/4	0/3	0/4	0/5	0/5	0/4	0/5	0/6	0/4	0/4	0/4

جدول ۴. داده‌های مایکروپروب یونی اورانیم-سرب کانی زیرکن در نمونه M41 از گابروهای میانه

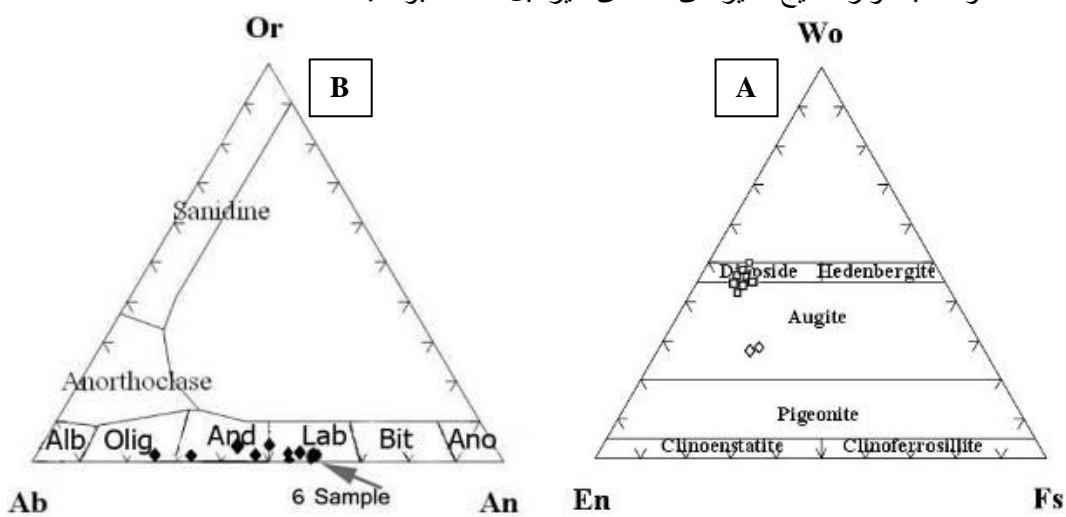
Correlation	20.7Pb*/ 22.5U	1 s.e.	3/80E-02 4/07E-03	4/08E-02 5/03E-03	3/88E-02 4/08E-03
	20.7Pb*/ 22.8U	1 s.e.	5/82E-03 3/29E-04	6/05E-03 3/83E-04	6/07E-03 3/89E-04
	Concordia		5/56E-01	5/30E-01	4/61E-01
	Ellipses		4/80E-02 4/22E-03	4/89E-02 5/12E-03	4/74E-02 9/61E-03
	20.7Pb*/ 20.6Pb*	1 s.e.	1 s.e.	1 s.e.	1 s.e.
			3/7/39 2/11	3/8/87 4/61	3/8/98 4/91
Age (Ma)	20.6Pb/ 22.8U	1 s.e.	3/8/39 3/98	4/0/13 144/6	4/8/46 184/2
	20.7Pb/ 22.5U	1 s.e.	3/8/39 3/98	4/0/13 144/6	4/8/46 184/2
	20.7Pb/ 20.6Pb	1 s.e.	20.8	240	498
	20.6Pb		100/4 68/7	100/5 55/2	99/12 37/3
	% Radio				
Th/U	20.6Pb		70/8 1/03	54/1 0/99	39/8 1/07
	U ppm				
	Th ppm				

شیمی کانی‌ها

به‌واسطه دور بودن گابرو‌های میانه در شرق محدوده بررسی شده (شکل ۱) از رانگی زاگرس، کانی‌های آن به نسبت سایر سنگ‌ها بسیار سالم‌تر هستند. بنا بر این نمونه‌هایی از این منطقه برای آنالیز‌های نقطه‌ای انتخاب شدند (جدول‌های ۲ و ۳).

پلازیوکلاز: پلازیوکلاز‌ها معمولاً منطقه‌بندی عادی نشان نمی‌دهند و ترکیب شیمیایی آن‌ها در محدوده لابرادوریت تا آندزین است که ترکیب بعضی به‌سمت قطب آلبیت متمایل شده است. ترکیب شیمیایی غالب به‌طور میانگین $(\text{Or}_{10-12} \text{Ab}_{57-42} \text{An}_{4-6})_{100}$ است. سه نمونه آندزین با ترکیب $\text{Or}_{11-14} \text{Ab}_{67-73} \text{An}_{21-24}$ و یک نمونه اولیگوکلاز نیز با ترکیب $\text{Ab}_{23-28} \text{An}_{75-78} \text{Or}_{1-11}$ دیده می‌شوند (شکل ۴). پلازیوکلاز‌ها در بسیاری موارد به سریسیت تبدیل شده‌اند. تغییرات ترکیب پلازیوکلاز می‌تواند تحت تأثیر آب دریا در هنگام نفوذ این گابروها بوجود آمده باشد، به‌طوری‌که با افزوده شدن یون سدیم در اثر تماس آب دریا به‌ترکیب این سنگ‌ها، پلازیوکلاز‌ها از لابرادوریت به‌سمت قطب آلبیت تغییر نماید (شکل ۵-۵).

پیروکسن: دو گروه پیروکسن در گابروی پگماتیت مشاهده می‌شود که هردو کلینوپیروکسن هستند. کلینوپیروکسن‌ها از دو نوع دیوپسید و اوژیت هستند (شکل ۵-B). عدد منیزیم (#Mg) آن‌ها از ۸۳/۹۰ تا ۸۸/۹۰ متغیر است. ترکیب کلینوپیروکسن‌های دیوپسیدی $(\text{Mg}_{44-77} \text{Fe}_{22-48})_{100}$ و کلینوپیروکسن‌های اوژیتی $(\text{Mg}_{46-54} \text{Fe}_{24-28})_{100}$ است. کلینوپیروکسن‌ها در گابرو‌های سهول آوا بهشت اورالیتی و دگرسان شده‌اند و این دگرسان شدگی روی اوژیت‌ها بیشتر تأثیر داشته است به‌طوری‌که در صد کل آنالیز‌ها کمتر از ۱۰۰ است و غالباً موارد نتایج آنالیز‌های نقطه‌ای غیرقابل استفاده بودند.



شکل ۵. (A) ترکیب پلازیوکلاز‌ها در گابرو‌های سهول آوا و (B) ترکیب پیروکسن‌ها در گابروها و پریدوتیت‌های سهول آوا [۲۱]

ژئوترمومتری

روش‌های ترمومتری باید در مورد کانی‌های که در یک شرایط (دما-فشار) ماقمایی تبلور حاصل کرده‌اند بهکار رود. علاوه بر آین باید کانی‌های بررسی شده ژئوترمومتری سالم مانده باشند. گابرو‌های افیولیتی بهواسطه شرایط ژئوپنهامیکی و تغییرات فراوان غالباً درصدی از آلتراسیون را همیشه تحمل کرده‌اند. متاسوماتیسم زیردریایی یکی از این آلتراسیون‌های همیشگی است. بسیاری از روش‌های پیشنهاد داده شده برای ترمومتری غالباً بر اساس کانی‌های متحرک (مانند کلسیم و سدیم) هستند که در مورد واحدهای افیولیتی با توجه به دگرسانی این روش‌ها کمتر کاربرد دارند. یکی از تغییرات دیگر در کانی‌ها ناشی از چندفازی بودن ماقمایی است. به این معنی که کانی که در حال تبلور در یک ماقمای خاص است، ماقمایی دیگری به محیط افزوده شود و باعث تغییر ترکیب و طبیعتاً دما و فشار حاکم بر محیط شود. با این وجود باید در انتخاب کانی‌ها برای بررسی شرایط ژئوترمومتری همه شرایط در نظر گرفته شود و مناسب‌ترین کانی انتخاب شود.

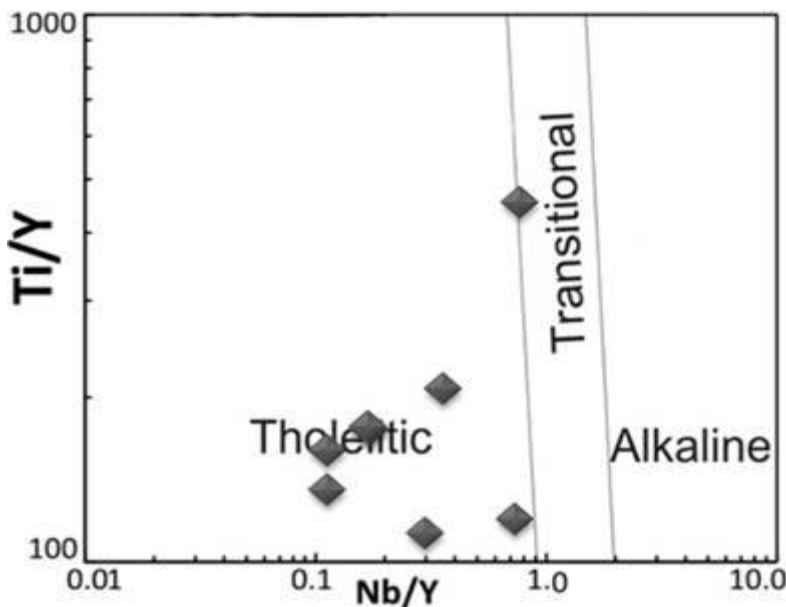
شاید بخش کومولایی (گابرو‌های پگماتیتی) بهترین بخش برای بررسی ترمومتری گابروها باشد که در آن کانی کلینوپیروکسن و پلاژیوکلاز در کنار هم متبلور شده‌اند که با توجه به شیمی کانی‌ها پلاژیوکلاز‌ها تغییر کرده‌اند ولی شیمی کلینوپیروکسن‌ها تغییر کمتری کرده‌اند، از این رو، کانی کلینوپیروکسن برای بررسی ترمومتری استفاده شد. ترمومتری کلینوپیروکسن با روش برتراند^۱ و مریر^۲ (۱۹۸۵) تنها روش است که می‌تواند برای اندازه‌گیری دمای کریستالیزاسیون در مایع میان کریستالی است. این ترمومتر نتایجی قابل مقایسه با دمای تعادلی کومولیت اولترامافیک بهدست داده است. در این روش دماهای 110.6 ± 13 ، 110.8 ± 28 ، 111.8 ± 20 و 109.1 ± 20 برای نمونه‌های دیوپسیدی M_{41} ، M_{40} و M_{42} بهترتبیب بهدست آمد و دماهای 10.86 ± 12 ، 10.68 ± 20 برای نمونه‌های اوژیتی M_{41} ، M_{42} محاسبه شد. دمای تشکیل کلینوپیروکسن (روش برتراند و مریر ۱۹۸۵) در پریدوتیت‌های کومولیتی در زیر استوک گابرویی میانه دمایی بین 119.8 تا 117.8 را بهدست داده است [۳۹]. با توجه به این‌که گابرو‌ها از پریدوتیت‌ها مشتق می‌شوند دمای تشکیل کلینوپیروکسن گابرو‌ها منطقی به نظر می‌رسد.

ژئوشیمی

میزان SiO_2 گابرو‌های سهول آوا از $47/84$ تا $51/68$ درصد وزنی و میزان MgO از $8/68$ تا $13/68$ درصد وزنی است. درصد Na_2O نمونه‌های سردوش ($0/46$ تا $0/47$) بهطور معناداری از سایر نمونه‌ها ($1/52$ تا $2/71$) کمتر است. بهمین ترتیب مقدار K_2O نیز در نمونه‌های سردوش (شکل ۱) ($0/03$ تا $0/05$) نسبت به سایر نمونه‌ها ($0/07$ تا $0/48$) کمتر است. سایر اکسیدهای اصلی تقریباً مشابه هم هستند. بهمنظور شناسایی ماهیت شیمیایی و سرشت گابرو‌ها، داده‌های شیمیایی گابرو‌ها (جدول ۱) روی نمودار Y/Ti در مقابل Nb/Y [۲۲] قرار داده شد که نمونه‌ها سرشت توله‌ایتی را نشان دادند (شکل ۶).

۱. Bertrand

۲. Mercier



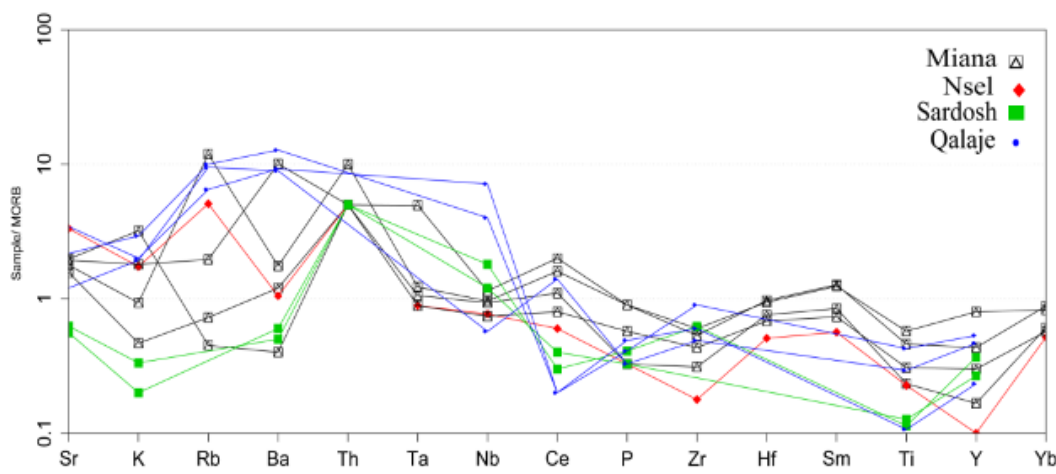
شکل ۶. نمودار Ti/Y در مقابل Nb/Y [۲۲] نمونه‌های گابروی سهول آوا سرشت توله ایتی را نشان می‌دهد

در گابروهای سهول آوا عناصر K، Rb و Ba آنومالی متفاوتی (منفی تا مثبت) دارند. با توجه به توله‌ایتی بودن سرشت غالب گابروها، آنومالی منفی پتاسیم و بهطبع آن عناصر روبيدیم و باریم در بعضی نمونه‌ها (نمونه‌های سردوش و دو نمونه میانه) قابل انتظار است. آنومالی مثبت این عناصر در دیگر نمونه‌ها (قهلاجی) می‌تواند به علت گرایش بعضی گابروها به سرشت کالکوآکالن و همچنین تأثیر متاسوماتیسم زیر دریایی بر گابروها باشد.

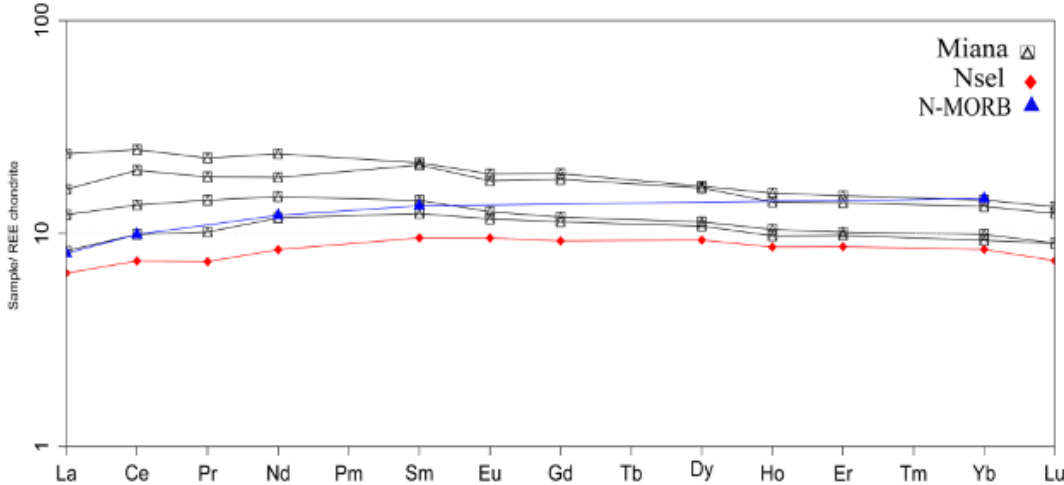
بهجز نمونه‌های سردوش که فقط آنومالی منفی در Ti را نشان می‌دهد، آنومالی منفی اندکی از عناصر Ta-Nb-Ti و آنومالی مثبت از عناصر Ce و Th در سایر نمونه‌ها دیده می‌شود که می‌تواند نشانه تأثیر مؤلفه فرورانش باشد. آنومالی منفی از Y و Zr در نمونه نسل و نمونه M⁸ از نمونه‌های میانه دیده می‌شود که دلیل بر تهی‌شدنگی منشأ ماقمای این نمونه‌ها است [۲۳]. البته آنومالی منفی Y می‌تواند نشانه عمق زیاد منشأ (گارنت لرزولیت) و در ارتباط با محیط‌های فرورانش باشد [۲۴]. این موضوع دلیلی بر چند منشأ بودن خاستگاه ماقمایی گابروها و هتروژن بودن گوشته ذوب شده است (شکل ۷).

با توجه به نمودار عناصر نادر خاکی نسبت به کندریت [۲۵] نمونه‌های سهول آوا الگوی بسیار شبیه به HREE N-MORB [۲۶] نشان می‌دهند (شکل ۸). در تمامی نمونه‌های سهول آوا مقدار LREE غنی‌شدنگی و تهی‌شدنگی اندکی را نسبت به N-MORB نشان می‌دهند بهطوری‌که اندکی شبیه منفی پیدا کرده و بهمیست E-MORB متمایل می‌شود. شبیه منفی و تمايل بهمیست E-MORB نشان‌دهنده نرخ ذوب بخشی كمتر از N-MORB است. نسبت La/Nb برای نمونه‌های سهول آوا برابر ۰/۷۵ تا ۱/۸۳ است که میانگین آن قابل مقایسه با ($\text{N-MORB} = ۱/۰/۷$) است ولی La/Yb برابر با ۱/۱۴ تا ۱/۴۵ محاسبه شد که در مقایسه با N-MORB=۰/۸۱ بیشتر است. در نمودار La-Nb [۲۷] نمونه‌های گابرو میانه و نسل در محدوده بینایینی

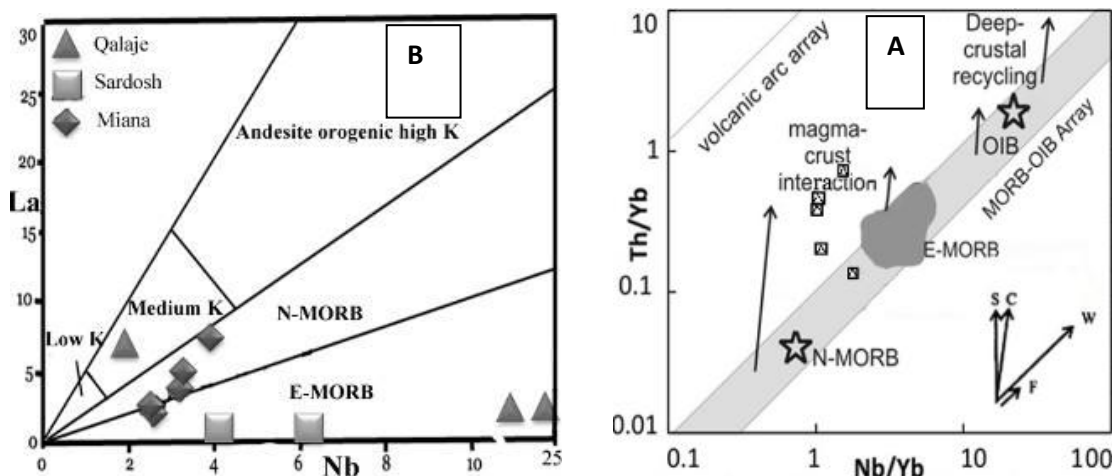
E-MORB و N-MORB با روند بهمیت N-MORB قرار می‌گیرند. دو نمونه از قهلاجی و نمونه‌های سردوش در محدوده E-MORB قرار گرفته‌اند که دو روند مختلف را نشان می‌دهند (شکل ۹-۱) برای تشخیص علت پراکنده‌گی نمونه‌ها بین محیط‌های توله‌ایت و کالکوآلکالن از نمودار Th/Yb - Nb/Yb [۲۸] استفاده شد. در این نمودار، ماگمای گابرو‌های میانه در محدوده‌های مختلفی مانند گوشه‌های تهی شده، ماگمای توله‌ایتی و ماگمای کالک‌آلکالن قرار می‌گیرد ولی روند کلی خاصی نیز دیده می‌شود که با توجه به آن، می‌توان گفت تغییرات گابرو‌ها متأثر از فرورانش (بردار S) هستند (شکل ۹-۲).



شکل ۷. نمودار عناصر کمیاب نرماییزه با مورب [۲۹] برای گابرو‌های سهول آوا



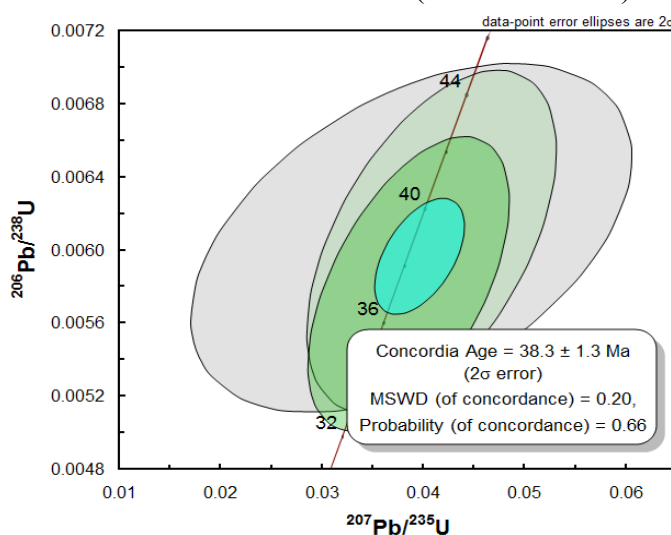
شکل ۸. نمودار عناصر نادر خاکی نمونه‌های سهول آوا نسبت به کندریت [۲۵]؛ برای گابرو‌های سهول آوا. نمونه‌ها روندی بسیار شبیه N-MORB دارند. عناصر کمیاب سبک دارای غنی‌شدگی و عناصر کمیاب سنگین اندکی تهی‌شدگی نسبت به N-MORB نشان می‌دهند که گویای آن است که نمونه‌ها یک مؤلفه مشابه با E-MORB نیز دارند یعنی نمونه‌ها بین مورب غنی‌شده و تهی‌شده با تشابه بیشتر به مورب تهی‌شده قرار دارند. البته در نمونه گابروی نسل به‌طور کلی تهی‌شدگی نسبت به N-MORB و سایر نمونه‌ها دیده می‌شود که تهی‌تر بودن منشأ ماکمایی آن را می‌رساند.



شکل ۹. (A) نمودار La/Nb [۲۷]، پراکندگی نمونه‌های میانه و نسل در محدوده بین N-MORB و E-MORB با روند به‌سمت N-MORB است. دو نمونه از قهلاجی و نمونه‌های سردوش در محدوده E-MORB قرار گرفته‌اند که گویای منشأ تهی شده‌تر برای این توده‌ها هستند. (B) نمودار Ta/Yb - Ta/Yb [۲۸]، برای نمونه‌های میانه نشان می‌دهد که گابروها در جایگاه‌های پراکنده‌ای از گوشته تهی شده به مانع‌های کالکالان قرار دارد. بردارهای تغییرات شیمیایی ناشی از تبلور تفریقی F، اثرات منبع W، آخشتنگی پوسته‌ای C و فرورانش S را نشان می‌دهد. با توجه به بردارهای تغییرات در بازالت‌ها ناشی از منشا (W) و گابروها متأثر از فرورانش (S) هستند.

تعیین سن پهلوش U-Pb

استوک میانه با بافت گرانولار-پگماتیتی به‌دلیل حفظ موقعیت خود در توالی افیولیتی و دور بودن از تراست اصلی و گسل جوان زاگرس، شاید سالمترین استوک و مناسب تعیین سن منطقه است. به‌همین دلیل کمود زیرکن در گابروها حدود ۴ کیلوگرم نمونه برداشت و خردایش شد. تعداد ۴ کانی زیرکن مناسب آنالیز جداسازی و ایزوتوپ‌های آن اندازه‌گیری و سن تبلور با روش U-Pb تعیین شد. مقدار میانگین $38/3 \pm 1/3$ میلیون سال برای این نمونه به‌دست آمد (جدول ۴ و شکل ۱۰).



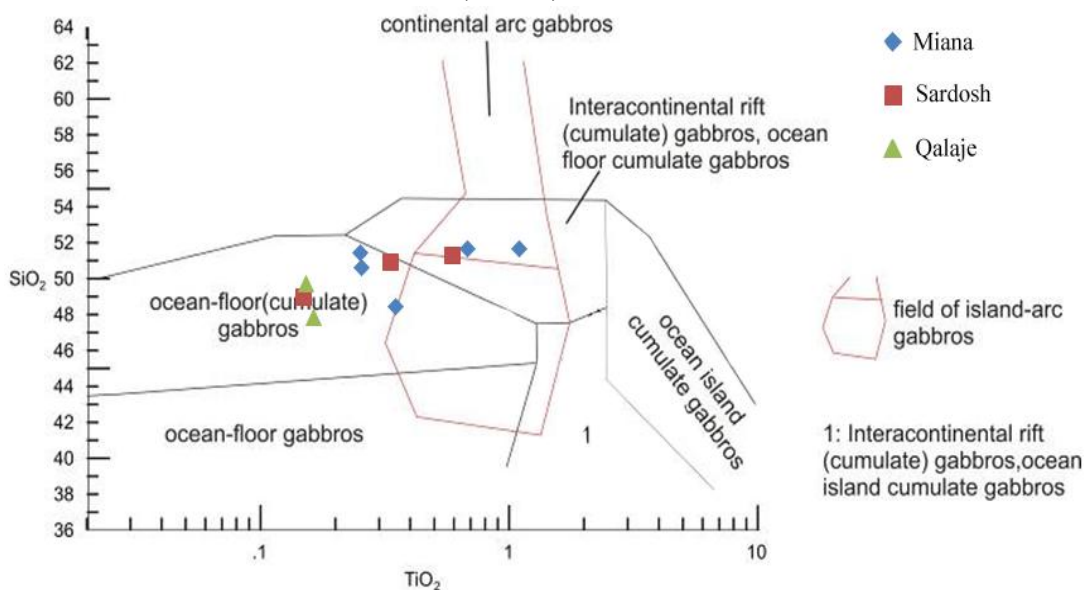
شکل ۱۰. نمایش داده‌های مایکروپروب یونی اورانیم-سرب زیرکن در نمونه M41 از گابروهای میانه در نمودار هماهنگی تعیین سن

بحث

۱. منشأ مagma

بخش بازالتی-میکروگابرویی از افیولیت‌های سهول آوا سرشت ماقمایی توله‌ایتی دارد و ویژگی‌های حدواتست در محدوده گابروهای کومولایی اقیانوسی قرار می‌گیرند (شکل ۱۱). غنی‌شدگی نسبی از LILE مانند K, Rb, Cs, Th و LREE یکی از ویژگی‌های افیولیت‌های بالای زون فرورانش است [۳۰] که در گابروهای سهول آوا دیده می‌شود. از این میان عناصر K, Rb, Ba در طول واکنش‌های آبزدایی لبه فرورونده در محلول‌ها وارد می‌شوند ولی Th و LREE نسبتاً در برابر دگرسانی پایدارند [۳۰]. آنومالی منفی در Nb شاخص ماقمایی جزایر قوسی است و می‌تواند به تفریق نسبی Nb با Ce و Th نسب داده شود زیرا Nb در اثر واکنش‌های آبزدایی یا ذوب بخشی صفحه فرورو ترجیحاً در آمفیبول و کانی‌های فرعی نظیر تیتانیت و روتنیل باقی می‌ماند [۳۱].

منشأ ماقمایی گابرویی قهلاجی (بخشی از گابروهای غرب منطقه) گوشه‌های است و آنومالی منفی Nb نشان از محیطی فرورانش دارد [۱۵]. آنومالی منفی Ta, Nb, Ti که نشانه فرورانشی بودن است، در گابروهای سهول آوا دیده می‌شود ولی مقدار آن نسبت به فرورانش‌های کمان قاره بسیار کمتر است. این آنومالی جزی در بیشتر افیولیت‌های زاگرس دیده می‌شود [۳۲] که مشخصه افیولیت‌های نوع سوپراسبدآکشن است. در نمودار طبقه‌بندی گابروها [۳۳]، گابروهای سهول آوا غالباً در بخش گابروهای بستر اقیانوسی قرار می‌گیرند که می‌تواند دلیلی بر افیولیت بودن گابروهای منطقه سهول آوا باشد (شکل ۱۱).



شکل ۱۱. نمودار طبقه‌بندی گابروها [۳۳]. گابروهای سهول آوا غالباً در بخش گابروهای (کومولایی) بستر اقیانوسی قرار می‌گیرند

۲. محیط تکتونیکی

در پژوهش‌های قبلی سن دایک‌های میکروگابروی افیولیت‌های کرمانشاه را به روش $\text{Ar}^{40}-\text{K}^{40}$ ۸۳ تا ۸۶ میلیون سال بحدست آورده‌اند [۳۴]. عزیزی و همکاران سن ماقماتیسم منطقه کامیاران را ۳۶ تا ۵۴ میلیون سال اعلام کرده و منشاً ماقماتیسم را گوشه‌ای تھی شده پیشنهاد کرده‌اند [۱۶]. سن مطلق توده گابروی جنوب شرق مریوان (قهلاجی) به روش U-Pb ۳۷/۹ میلیون سال تعیین شده است [۱۵]. معین‌وزیری و همکاران سن رادیومتری توده‌های آذرین محور صحنه-مریوان را ۲۷ تا ۳۴ میلیون سال و ماقماتیسم این محور را نتیجه دور دوم فرورانش نئوتیس در اولیگوسن می‌دانند (شکل ۱۲) [۱۱]. این محققان سنگ‌های محور صحنه-پنجوین را به جزایر قوسی و محیط سوپراساباکشن نسبت داده‌اند.

پژوهش‌گران دیگری توده‌های گابرویی همارز با گابروی‌های سهول آوا بررسی کرده‌اند که سن‌های بحدست آمده تا حدود زیادی با هم سازگار هستند. تنها توده گابرو-دیوریتی طابیسaran در پژوهش معین‌وزیری و همکاران [۱۱] سن اولیگوسن دارد، و در پژوهش بیرمنس^۱ سن ائوسن را نشان می‌دهند (جدول ۵). از توده‌های آورده شده در جدول ۵ فقط گرانیت برده رشه سرشت کالکوآلکالن دارد که تشکیل آن را به بعد از کوهزایی نسبت داده‌اند [۱۵] و سایر سنگ‌ها سرشت توله ایتی تا اندکی کالکوآلکالن دارند.

جدول ۵. خلاصه تعیین سن سنگ‌های آذرین در محور کامیاران-مریوان

		روش	سن بر حسب میلیون سال	مشخصات توده
[37]	Rb/Sr		34 ± 1 $30/01 \pm 0/7$ $27/5 \pm 0/7$ 42 ± 1	گابروی طابیسaran گابروی طابیسaran دیوریت طابیسaran توده گابروی مروارید توده دیوریتی مروارید بازالت شرق کامیاران
[10,11]	K/Ar سنگ کل		$37 \pm 0/9$ $39/6 \pm 2/8$ و $34/7 \pm 1$	
[15]	U-Pb زیرکن		$37/9$ $37/9$	گابروی قهلاجی گرانیت برده رشه
[16]	U-Pb زیرکن		۵۴	بازالت کامیاران گابروی کامیاران
مطالعه حاضر	U-Pb زیرکن		$38/3 \pm 1/3$	گابروی سهول آوا (M41)

عزیزی و همکاران [۱۰، ۱۶]، معین‌وزیری و همکاران [۱۱] و معتقدند که در پالئوژن یک سیستم فرورانش بین پوسته اقیانوسی نئوتیس و زون سنندج-سیرجان در منطقه کردستان وجود داشته است و باعث بروجود آمدن کمانی ماقمایی در الیگومیوسن شده است. توده‌های گابرو-گرانیتی شامل گابروی مروارید و گابروی طابیسaran [۱۱، ۳۶]، گرانیت بهرده رشه [۱۵] گرانیت نژمار و مونزونیت بنیدر در این کمان پدید آمده‌اند. این نفوذی‌ها در امتداد افیولیت‌های کردستان رخنمون دارند و می‌توان آن‌ها را کمان بعد از تشکیل افیولیت در نظر گرفت که در پالئوژن نفوذ کرده‌اند.

^۱. Biermanns

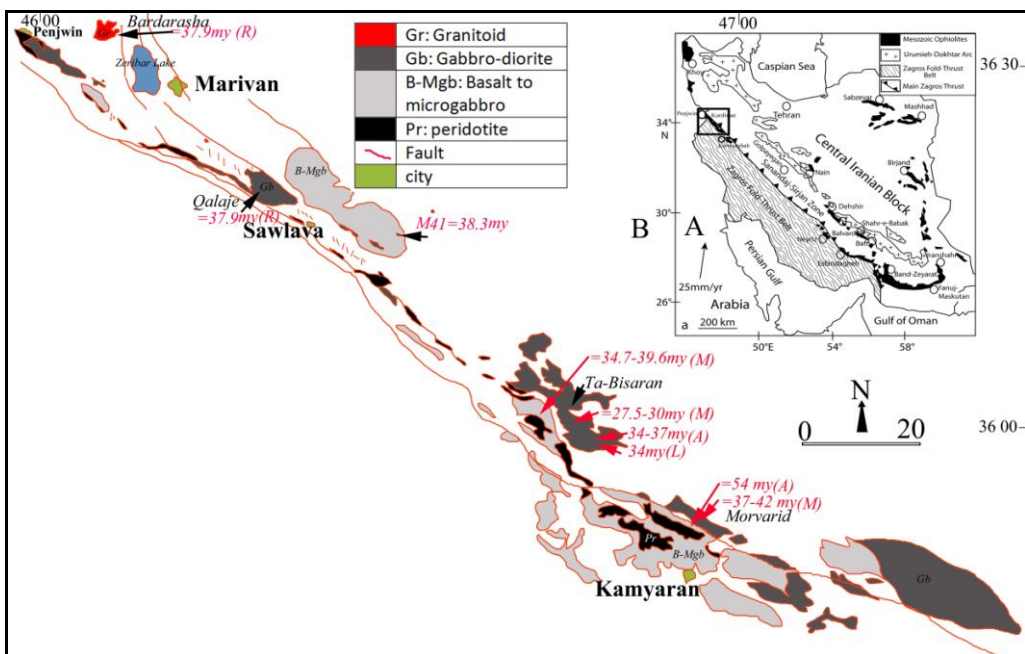
با تکیه بر پژوهش‌های قبلی و بررسی‌های صحرایی بهنظر می‌رسد که علاوه بر توده‌های نفوذی کمان ماگمایی مرتبط با دوردوم فرورانش، توده‌های گابرویی با خصوصیات توله‌ایتی که مرتبط با افیولیت‌ها هستند، در جوار این کمان و همراه سایر واحدهای افیولیتی وجود دارند. از جمله توده‌های مرتبط با افیولیت که عموماً سرشت توله‌ایتی دارد و به همراه پریدوتیت و بازالت‌های توله‌ایتی با ساختار پیلولاوایی در محور دینور-پینجوین دیده می‌شوند می‌توان به گابروهای پینجوین [۱۳]، [۳۷]، گابروهای ایزووترپ و لایه‌ای جنوب مریوان (روستاهای ویسه-سیاناو و اسکول)، گابروی قهلاجی [۱۵]، استوک‌های مجموعه افیولیتی سهول آوا و گابروهای محور دینور-کامیاران اشاره کرد. توده طا-بیساران نیز خواص ژئوشیمیایی شبیه به گابروهای افیولیتی سوپراسابداکشن دارد که اندکی آنومالی منفی در Ti-Nb-Ta را نشان می‌دهند که گویای مؤلفه فرورانشی است. وجود دایک‌های گرانیتی مشابه با خصوصیات پلازبیوگرانیتی افیانوسی در گابروی طا-بیساران [۳۶]، اطراف سهول آوا [۳۸] نیز نشان از افیولیتی بودن این گابروهاست. پژوهش‌های صحرایی سایر توده‌های با ترکیب گابرو، نشان می‌دهد که دایک‌های فلزیک مشابه در گابروهای شرق کامیاران (روستای سرتخت)، گابروهای سهول آوا (روستاهای نسل، انجمنه و قهلاجی)، گابروهای جنوب مریوان (روستای ویسه، سیاناو و اسکول) و گابروی پینجوین (روستاهای آسن آوا و بنلو-مسوته) نیز دیده می‌شوند. گابروهایی که دایک فلزیک در آن‌ها نفوذ کرده است در همراهی بازالت‌های توله‌ایتی و پریدوتیت‌های بهشت سرپانتینی شده هستند که در مجموع، افیولیت‌های کردستان را می‌سازند. نزدیکی توده‌های مرتبط با کمان ماگمایی پالئوزن و توده‌های گابروی مرتبط با افیولیت‌های کردستان، ممکن است به واسطه راندگی زیاد مجموعه افیولیتی با صفحه عربی باشد. در منطقه کامیاران که بیشتر بررسی‌های قبلی در آنجا صورت گرفته است، واحدهای افیولیتی از هم گسیخته^۱ هستند. به همین دلیل گابروهای این منطقه در توالی افیولیتی در موقعیت خویش نیستند و در بررسی‌های قبلی با عنوان گابروی افیولیتی ذکر نشده‌اند. در منطقه سهول آوا گابروها و بخش‌های بالاتر توالی افیولیتی در جایگاه واقعی خود در یک توالی افیولیتی دیده می‌شوند.

مجموعه افیولیتی روی نهشته‌های کربناتی-تخریبی اولیگومیوسن رانده شده است. نهشته‌های اولیگومیوسن به صورت دگرشیب روی آهک‌های بیستون-اورامان نشسته است. این پدیده در محل تراست اصلی زاگرس در روستاهای قلعه‌جی تا شهر سهول آوا دیده می‌شود. این تراست‌شدنگی بیان‌گر آن است که برخورد دو صفحه در اوخر میوسن شروع و بعد از آن نیز ادامه داشته است. با وجود این مشاهدات می‌توان گفت که احتمالاً سن گابروهای افیولیتی زاگرس در منطقه کردستان به ویژه کامیاران و سهول آوا ائوسن تا الیگوسن است و جوانتر از میکروگابروهای کرتاسه پایانی کرمانشاه است.

در ادامه پژوهش‌های انجام شده در منطقه با استفاده از شیمی کانی‌های دیگر واحدهای افیولیتی سهول آوا مانند پریدوتیت‌ها و قطعات کرومیتی، روشن شده است که افیولیت‌های منطقه مشخصاً در جلوی قوس محیط

۱. Dismembered

سوپراسابداسکشن تشکیل شده‌اند [۳۲، ۳۹]. گابرو‌های منطقه به همراه سایر واحدهای افیولیتی در حاشیه سندنج-سیرجان و بسیار نزدیک به تراست اصلی زاگرس قرار گرفته‌اند. با توجه به داده‌های ژئوشیمی، سرشت ماقمای تشکیل دهنده و سن می‌توان تشکیل این گابرو‌ها را مصادف با دوم فراورانش نتوتیس در نظر گرفت.



شکل ۱۲. (A.) نقشه زونبندی افیولیت‌های ایران [۳۲]، (B) نقشه پراکندگی افیولیت‌های کردستان و توده‌های گابروی و بازالتی تعیین سن شده در این پژوهش و بررسی‌های قبلی راهنمایی سن‌های پژوهش‌های قبلی: [۱۶]، (A)، [۱۵]، (R)، [۱۱]، (M)، [۳۵]، (L).

نتیجه‌گیری

افیولیت‌های سهول آوا بخشی از افیولیت‌های کردستان در بخش شمالی زمین درز زاگرس است. بخش مهمی از افیولیت‌های سهول آوا را توده‌های با ترکیب گابرو با بافت پگماتوپیدی-دانه‌ای و سرشت توله‌ایتی تشکیل می‌دهند که اندازه آن‌ها غالباً در حد دایک و استوک باست و ترکیب کانی‌شناسی و شیمیایی کم و بیش مشابهی دارند.

سرشت توله‌ایتی، وجود دایک‌های فلزیک پلاژیوگرانیتی، همراهی با پیلوپازالت‌های توله‌ایتی و پریدوتیت‌ها و ویژگی‌های ژئوشیمیایی در نمودارهای مختلف نشان‌گر ارتباط این گابرو‌ها با افیولیت‌های نوع سوپراسابداسکشن جلوی قوس تشکیل شده‌اند.

سن گابرو‌های سهول آوا بهروش اورانیم-سرب روی زیرکن $\pm 1/3$ ۳۸/۳ میلیون سال محاسبه شده است که هماهنگی چشمگیری با سنگ‌های بازالت-گابروی منطقه کامیاران دارد. با توجه به این که سن‌های گابرو-بازالت‌های مرتبط با افیولیت‌های منطقه کردستان اولوایلیگو سن (بین ۲۸ تا ۵۴ میلیون سال) است. با پذیرش این

که این گابروها مربوط به توالی افیولیتی هستند، می‌توان گفت که نئوتیس ممکن است در زمان مذکور هنوز باز بوده است و بعد از اولیگوسن بسته شده است.

اما رانده شدن مجموعه افیولیتی بر روی نهشته‌های رسوی اولیگومیوسن نشان می‌دهد که بسته شدن نهایی دریای باقی‌مانده از نتیس بین ایران و صفحه عربی در زمانی پس از نهشته شدن این رسوبات یعنی اواخر میوسن یا بعد از آن صورت گرفته است.

منابع

1. H. Moinevaziri, H. Azizi, B. Mehrabi, F. Izadi, "Oligocene Magmatism in the Zagros Thrust Zone (Sahneh- Marivan Area): Evidences for the second Neotethyan Subduction Occurrence in the Paleogene", Journal of Science, University of Tehran 34 (2008) 113-122.
2. S. Alirezaei, J. Hassanzadeh, "Geochemistry and zircon geochronology of the Permian A-type Hasanrobat granite, Sanandaj-Sirjan belt: A new record of the Gondwana break-up in Iran", Lithos 151 (2012) 122-134.
3. M. Alavi, "Tectonics of Zagros Orogenic belt of Iran, new data and interpretation", Tectonophysics 229 (1994) 144-149.
4. P. Agard, J. Omrani, L. Jolivet, F. Mouthereau, "Convergence history across Zagros (Iran): constraints from collisional and earlier deformation", Institute Journal of Earth Science (Geol. Rundsch.) 95 (2005) 401-419.
5. A. M. Ghazi, and A. A. Hassanipak, "Geochemistry of sub-alkaline and alkaline extrusives from Kermanshah Ophiolite, Zagros suture zone, western Iran: implications for Tethyan plate tectonics", J. Asian Earth Sci., 17 (1999) 319-332.
6. K. Allabyari, E. Sacanni, M. Pourmoafi, L. Beccalova, F. Masoudi, "Petrology of mantle peridotites and intrusive mafic rocks from the Kermanshah ophiolitic complex (Zagros belt, Iran): implication for the geodynamic evolution of the Neo-Tethyan oceanic branch between Arabia and Iran", Ophioliti 35 (2010) 71-90.
7. A. Nadimi, "Mantle flow patterns at the Neyriz Paleo-spreading centre, Iran", Earth and Planetary Science Letters 203 (2002) 93-104.
8. B. Rahimzadeh, F. Masoudi, K. Allabyari, "Geochemistry and Petrology of Sawlava massive in Kurdistan ophiolite: Implication for the Neo-Tethyan magmatism at the Zagros belt, Iran", The 22nd V. M. Goldschmidt Conference, (2012) 24-29 june, Montreal, Canada.

9. M. Mohajjal, C. L. Fergusson, M. R. Sahandi, "Cretaceous-Tertiary convergence and continental collision, Sanandaj-Sirjan Zone, western Iran", Journal of Asian Earth Sciences 21 (2003) 397-412
10. H. Azizi, H. Moinevaziri, "Review of the tectonic setting of Cretaceous to Quaternary volcanism in northwestern Iran", Journal of Geodynamics 47 (2009) 167-179.
11. حسین معین‌وزیری، حسین عزیزی، بهزاد مهرابی، فاروق ایزدی، مأکماتیسم الیگوسن در زون رانگی زاگرس (محور صحنه- مریوان): دور دوم فرورانش نتوتیس در پالئوژن. مجله علوم دانشگاه تهران، جلد سی و چهارم شماره ۱۱۳-۱۲۱ (۱۳۸۷).
12. M. B. Allen, M. Kheirkhah, I. Neill, M. H. Emami, C. L. Mcleod, "Generation of Arc and Within-plate Chemical Signatures in Collision Zone Magmatism: Quaternary Lavas from Kurdistan Province, Iran", Journal of Petrology, (2013), doi:10.1093/petrology/egs090.
13. M. E. Al-Hassan, F. H. Hubbard, "Magma segregations in a tectonic remnant of basalt ophiolite, Penjwin", NE Iraq, Ofioliti 10 (1985) 139-145.
14. M. E. Al-Hassan, "Rare Earth element pattern of layered gabbro of the Penjwin complex", NE Iraq, Ofioliti 12 (1987) 437-444.
15. احمد رانین، پترولوری و نگرانی سنگ‌های پلوتونیک منطقه مریوان، پایان نامه کارشناسی ارشد، دانشگاه بوعلی سینا، همدان، ایران (۱۳۸۷).
16. H. Azizi, T. Tanaka, Y. Asahara, S. L. Chung, M. H. Zarrinkoub, "Discrimination of the age and tectonic setting for magmatic rocks along the Zagros thrust zone, northwest Iran, using the zircon U-Pb age and Sr-Nd isotopes", Journal of Geodynamics 52 (2011) 304-320.
17. مسیب سبزه‌ای، احمد گورابجیری، فرید اسلامدوست، نقشه زمین‌شناسی پاوه و غرب پاوه با مقیاس ۱/۱۰۰۰۰۰ سازمان زمین‌شناسی و اکتشافات معدنی کشور (۱۳۸۹).
18. X. Quidelleur, M. Grove, O. M. Lovera, T. M. Harrison, A. Yin, F. J. Ryerson, "Thermal evolution and slip history of the Renbu Zedong thrust", southeastern Tibet, Journal of Geophysical Research 102 (1997) 2659-2679.
19. A. K. Schmitt, M. Grove, T. M. Harrison, O. M. Lovera, J. Hulen, M. Waters, "The Geysers-Cobb Mountain magma system, California (Part 1): U-Pb zircon ages of volcanic rocks, conditions of zircon crystallization and magma residence times", Geochimica et Cosmochimica Acta 67 (2003a) 3423-3442.

20. J. Hassanzadeh, D. F. Stockli, B. K. Horton, G. J. Axen, L. D. Stockli, M. Grove, A. K. Schmitt, J. D. Walker, "U-Pb zircon geochronology of late Neoproterozoic-Early Cambrian granitoids in Iran: Implications for paleogeography, magmatism and exhumation history of Iranian basement", *Tectonophysics* 451 (2008) 71-96.
21. N. Morimoto, "Nomenclature of pyroxenes", *Canadian Mineralogist* 27 (1989) 143-156.
22. J. A. Pearce, "Trace element characteristics of lavas from destructive plate boundaries. In: Thorpe, R. S. (ed), *Andesites*, Wiley and Sons", New York (1982) 525-548.
23. H. R. Rollinson, "Using Geochemical Data: Evaluation, Presentation, Interpretation", Longman Scientific and Technical, England (1993), 345 p.
24. X. Xisheng, Y. O. Suzanne, W. L. Griffin and Z. Xinmin, "Genesis of Young Lithospheric Mantle in Southeastern China: an LAM-ICPMS Trace Element Study", *Journal of Petrology* 41 (2000) 111-148.
25. W. V. Boynton, "Geochemistry of the rare earth elements: meteorite studies. In: HENDERSON, P. (ed), *Rare Earth Element Geochemistry*", Elsevier, 63 (1984) 98-114.
26. S. S. Sun, W. F. McDonough, "Chemical and isotopic systematic of oceanic basalts: implication for mantle composition and processes. In: Saunders, A.D., Norry, M.J. (Eds.), *Magmatic in Oceanic Basins, Special Publication*", Geological Society of London 42 (1989) 313-345.
27. J. B. Gill, "Orogrnic Andesites and Plate Tectonics", Springer, Beline (1981).
28. J. A. Pearce, M. J. Norry, "Petrogenetic implications of Ti, Zr, Y, and Nb variations in volcanic rocks, Contribution Mineralogy", *Petrology* 69 (1979) 33-43.
29. J. A. Pearce, "Role of the sub-continental lithosphere in magma genesis at acrive continental margins: p. 230-249 in, Hawkesworth, C.J. and Norry, M.J., eds., *Continental Basalts and Mantle Xenoliths*", Shiva Publishing Ltd., Cambridge, Mass., (1983) 272 p.
30. J. W. Shervais, "Birth, death, and resurrection: The life cycle of suprasubduction zone ophiolites", *Geochemistry Geophys Geosystem* vol.2 (2000), Paper number 2000 GC000080.
31. J. A. Pearce, "A user's guide to basalt discrimination diagrams, In: Wyman, D. A., (Ed), *Trace Elament Geochemistry of Volcanic rocks: Applications for Massive Sulphide Exploration*", Geological Association of Canada, Short Course Notes 12 (1996) 79-113.

32. H. Shafaii Moghadam, R. J. Stern, "Geodynamic evolution of Upper Cretaceous Zagros ophiolites: formation of oceanic lithosphere above a nascent subduction zone", Geological Magazine 148 (2011) 762-801.
33. L. Biermanns, "Chemical classification of gabbroic-dioritic, based on TiO₂, SiO₂, FeO, MgO, K₂O, Y and Zr. Third ISAG", St Malo (1996) (France).
34. M. Delaoye, J. Desmons, "Ophiolites and mélange terranes in Iran: a geochronological study and its paleotectonic implications", Tectonophysics 68 (1980) 83-111.
35. J. Leterrier, "Mineralogical, geochemical and isotopic evolution of two Miocene mafic intrusions from the Zagros (Iran)", Lithos, 18 (1985) 311-329.
۳۶. فاروق ایزدی، پتروگرافی، ژئوشیمی و پتروژئنر توده نفوذی (طا-بیسaran)، جنوب غرب سندج، پایان‌نامه کارشناسی ارشد، دانشگاه تربیت معلم تهران (۱۳۸۴).
37. Y. O. Mohammad, H. Mekawa, F. A. Lawa, "Mineralogy and origin of Mlakawa albitite from Kurdistan region, northeastern Iraq", Geosphere 3 (2007) 624-645.
۳۸. حسین محمودی، ژئوشیمی و پترولوری سنگ‌های آذرین سروآباد، غرب سندج، پایان‌نامه دوره کارشناسی ارشد، دانشگاه تربیت مدرس تهران، (۱۳۸۸).
39. Kh. Allahyari, E. Saccani, B. Rahimzadeh, O. Zeda, "Mineral chemistry and petrology of highly magnesian ultramafic cumulates from the Sarve-Abad (Sawlava) ophiolites (Kurdistan, NW Iran): New evidence for boninitic magmatism in intra-oceanic fore-arc setting in the Neo-Tethys between Arabia and Iran", Journal of Asian Earth Sciences 79 (2014) 312-328.